

Methylation Pattern of Hepatitis B Virus X Gene in Infected Patients

Fatemeh Hosseini¹, Mehrdad Ravanshad^{2*}, Mehrdad Noruzinia³

1- M.Sc. Student, Department of Virology, Faculty of Medical Sciences, Tarbiat Modares University, Tehran, Iran

2- Assistant Professor, Department of Virology, Faculty of Medical Sciences, Tarbiat Modares University, Tehran, Iran

3- Associated Professor, Department of Medical Genetic, Faculty of Medical Sciences, Tarbiat Modares University, Tehran, Iran

*Corresponding Address: P.O.Code: 1411317116, Department of Virology, Faculty of Medical Sciences, Tarbiat Modares University, Tehran, Iran
Email: ravanshad@modares.ac.ir

Received: 12/Oct/2013, Accepted: 13/Jan/2014

Abstract

Objective: A recent field of research in epigenetics is DNA methylation which involves the CpG island in the genome that subsequently controls transcription and translation of targeted genes. In the hepatitis B virus (HBV) genome, there are three CpG islands which tend to be methylated. The aim of the current study is to determine the methylation pattern of the HBV X gene in chronically infected HBV patients.

Methods: Study participants comprised 45 chronically infected HBV patients. According to the presence of the HBeAg, patients were divided into two groups, HBeAg positive (n=24) and HBeAg negative (n=21). Initially, viral DNA was treated with sodium bisulfate. Then, analysis was performed with two sets of methylated and non-methylated primers by the MSP method.

Results: The overall methylation rate in serum samples of hepatitis B infected patients was 35.5%; the rate in the HBeAg positive patients was 20.8%, whereas it was 52.3% in HBeAg negative patients. There was a significantly higher rate of methylation in serum samples of HBeAg negative patients compared to HBeAg positive patients (student's t-test; P=0.02).

Conclusion: Methylation of HBV can be used as a new mechanism to control the progression of viral infection. This methodology can be useful for determining the characteristics of clinical stages of this infection.

Keywords: Hepatitis B, DNA methylation, Epigenetic

Modares Journal of Medical Sciences: *Pathobiology*, Vol 16, No 4, Winter 2014, Pages: 39-46

بررسی الگوی متیلاسیون ژن X ویروس هپاتیت B در افراد آلووده

فاطمه حسینی^۱، مهرداد روانشاد^{۲*}، مهرداد نوروزی‌نیا^۳

۱- دانشجوی کارشناسی ارشد، گروه ویروس‌شناسی، دانشکده علوم پزشکی، دانشگاه تربیت مدرس، تهران، ایران

۲- استادیار، گروه ویروس‌شناسی، دانشکده علوم پزشکی، دانشگاه تربیت مدرس، تهران، ایران

۳- دانشیار گروه ژنتیک پزشکی، دانشکده علوم پزشکی، دانشگاه تربیت مدرس، تهران، ایران

*آدرس نویسنده مسئول: ایران، تهران، کد پستی: ۱۴۱۱۷۱۳۱۶، دانشگاه تربیت مدرس، دانشکده علوم پزشکی، گروه ویروس‌شناسی

Email: ravanshad@modares.ac.ir

پذیرش مقاله: ۹۲/۰۷/۲۰

دریافت مقاله: ۹۲/۰۷/۲۰

چکیده

هدف: یکی از حوزه‌های مهم در اپی‌ژنتیک، متیلاسیون DNA است که دی‌نوکلوتیدهای CpG در ژنوم را تحت تأثیر قرار داده و رونویسی بیان ژن‌های مورد نظر را کنترل می‌کند. در ژنوم ویروس هپاتیت B، سه جزیره غنی از دی‌نوکلوتید CpG وجود دارد که تعایل شدیدی به متیله شدن دارد. هدف از این مطالعه تعیین الگوی متیلاسیون ژن X ویروس هپاتیت B در بیماران مبتلا به این ویروس است.

مواد و روش‌ها: جمعیت هدف بررسی در این مطالعه ۴۵ بیمار مبتلا به ویروس هپاتیت B بود. ابتدا DNA ژنومی ویروس برای تعیین میزان متیلاسیون با بی‌سولفیت سدیم تیمار شد. سپس با دو گروه آغازگر متیله و غیر متیله توسط روش MSP تجزیه و تحلیل شد.

نتایج: میزان متیلاسیون در نمونه‌های سرمی مبتلا به ویروس به طور کلی ۳۵/۵ درصد بود و این نرخ در بیماران HBeAg مثبت ۲۰/۸ درصد و در مبتلایان HBeAg منفی ۵۲/۳ بود. به این ترتیب میزان متیلاسیون در نمونه سرمی افراد مبتلا به هپاتیت B مزمن HBeAg منفی به طور معنی‌داری بیشتر از میزان متیلاسیون DNA ویروس در افراد مبتلا HBeAg مثبت مثبت است که این فرضیه با Student T-test با $P=0.02$ تأیید شد.

نتیجه‌گیری: متیلاسیون ژنوم هپاتیت B می‌تواند به عنوان یک مکانیسم جدید برای کنترل پیشرفت عفونت ویروسی و همچنین تعیین مرحله بالینی بیماری مبتلا در نظر گرفته شود، بنابراین دانستن الگوهای مختلف متیلاسیون DNA از اهمیت ویژه‌ای برخوردار است. در این مطالعه میزان متیلاسیون در بیماران HBeAg منفی به طور معنی‌داری بالاتر از افراد HBeAg مثبت تعیین شد ($P=0.02$).

کلیدواژگان: هپاتیت B، متیلاسیون DNA، اپی‌ژنتیک

مجله علوم پزشکی مدرس: آسیب‌شناسی زیستی، دوره ۱۶، شماره ۴، زمستان ۱۳۹۲، صفحات: ۴۶-۴۹

مقدمه

مزمن و سالانه حدود یک میلیون مرگ در ارتباط با این ویروس در سراسر جهان وجود دارد؛ بنابراین با وجود واکسن پیشگیری کننده ویروس هپاتیت B (Hepatitis B Virus)، این ویروس یک نگرانی برای بهداشت جامعه بشری تلقی

عفونت مزمن با هپاتیت B (Hepatitis B)، یکی از مهم‌ترین عوامل خطرساز برای پیشرفت به سمت سرطان کبد است. بنابراین عفونت حاصل از این ویروس می‌تواند یکی از عمده‌ترین دلایل مرگ و میر باشد. حدود ۴۰۰ میلیون نفر حامل

بررسی الگوی متیلاسیون ژن X ویروس هپاتیت B

کامل آشکار نشده است. این تأثیرات به عوامل متعددی مانند مرحله‌ای از تکثیر ویروس که متیلاسیون اتفاق می‌افتد، گونه میزانی، بافت و سلول آلوده به ویروس، موقعیت نوکلئوتید متیله شده در ژنوم ویروس و اندازه ویروس بستگی دارد [۵]. اما وجه مشترک تمامی ویروس‌ها در رابطه با متیلاسیون، ارتباط معکوس این مکانیسم با بیان ژن‌های ویروسی است و به نظر می‌رسد ژن‌های مرحله تأخیری ویروس‌ها نسبت به ژن‌های مرحله اولیه تمایل بیشتری نسبت به متیلاسیون دارد. به گونه‌ای که متیلاسیون، ژن‌های ویروسی را نشاندار می‌کند و این مسئله موجب فراخوانی پروتئین‌های دیگر مانند پروتئین‌های MeCP1، 2 و عناصر سرکوب کننده رونویسی شده و موجب تشکیل یک کمپلکس پروتئینی ویژه روی پروموتراها و ویروسی حاوی CpG متیله می‌شود. به این ترتیب این مناطق از دسترس عوامل رونویسی محفوظ می‌ماند در حالی که به طور همزمان عوامل سرکوب کننده رونویسی به این کمپلکس فراخوانی می‌شود [۷-۵]. از جنبه دیگر ویروس‌ها از تغییرات اپیژنیک، به خصوص متیلاسیون DNA برای پنهان کردن خود از سیستم ایمنی استفاده می‌کنند به این ترتیب که متیلاسیون مانع از ظهور آنتی‌ژن‌های ویروسی شده و بنابراین ویروس از دسترس سیستم ایمنی دور خواهد ماند [۸]. با توجه به این که الگوی متیلاسیون ژنوم ویروس در نمونه‌های سرمی بررسی نشده است و به دست آوردن الگوی متیلاسیون ژن X ویروس هپاتیت B برای تعیین الگوی کلی متیلاسیون ویروس و تعیین مراحل مختلف بالینی مفید است، انجام این مطالعه ضروری به نظر می‌رسد.

مواد و روش‌ها

در این مطالعه از ۴۵ نمونه سرمی بیماران مبتلا به هپاتیت B مزمن استفاده شد. نمونه‌های اشاره شده به دو گروه HBeAg مثبت و HBeAg منفی تقسیم شد. DNA ویروسی Invisorb STRATEC Molecular (آلمان) به دست آمد. سپس DNA‌های استخراج شده با بسیاری از سولفیت سدیم

می‌شود [۱]. سلطان کبدی که در پی عفونت با ویروس هپاتیت B ایجاد می‌شود به عوامل مختلفی مانند واکنش متقابل ویروس و میزان، پیشرفت به سمت سیروز، فعالیت پروتئین X ویروس و تأثیر این پروتئین بر مسیرهای انتقال پیام، تغییرات اپیژنیک ژن‌های سلولی و ویروسی و ... بستگی دارد [۲]. یکی از حوزه‌های مهم در اپیژنیک متیلاسیون DNA است که روی دی نوکلئوتید CpG در ژنوم رخ می‌دهد و موجب کنترل رونویسی و بیان ژن مورد نظر می‌شود [۳]. ویروس‌ها در مکانیسم متیلاسیون از یوکاریوت‌ها تقلید می‌کنند به گونه‌ای که سیتوزین موجود در دی نوکلئوتید CPG تمایل بالایی برای متیلاسیون دارد. در ژنوم ویروس هپاتیت B سه جزیره غنی از دی نوکلئوتید CpG وجود دارد و شواهد نشان داده است که این جزایر تمایل شدیدی به متیله شدن دارد.

۱- جزیره CpG island ۱ (CpG island 1): این منطقه در موقعیت نوکلئوتیدی ۲۸۱-۵۵ قرار گرفته و با عناصر تنظیمی ویروس مانند کدون شروع آنتی‌ژن سطحی ویروس همپوشانی دارد. این منطقه دارای ۷ دی نوکلئوتید CpG است.

۲- جزیره CpG ۲: این منطقه در موقعیت نوکلئوتیدی ۱۲۲۸-۱۶۶۳ قرار گرفته و با پروموترا ژن X و تشید کننده ۱ (Enhancer 1) همپوشانی دارد. این جزیره حاوی ۸ دی نوکلئوتید CpG است.

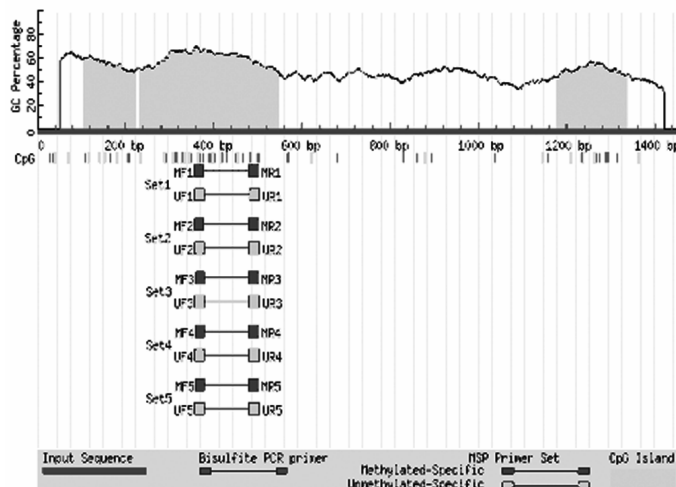
۳- جزیره CpG ۳: این جزیره در موقعیت ۲۴۴۶-۲۲۹۵ قرار گرفته و حاوی کدون شروع ژن پلیمراز ویروس است [۳، ۴]. به نظر می‌رسد که متیلاسیون در هر کدام از این سه ناحیه ژنومی رخ دهد از اهمیت ویژه‌ای برخوردار است. به همین منظور مطالعات بی‌شماری برای بررسی الگوی‌های مختلف متیلاسیون در ژنوم ویروس هپاتیت B در مراحل مختلف عفونت و همچنین در بافت‌های مختلفی که هدف ویروس است انجام گرفته است. مطالعات انجام شده نشان داده است که متیلاسیون CpG‌ها در ژنوم ویروس‌ها به خصوص ویروس‌ها، تأثیر عمده‌ای بر چرخه تکثیر ارگانیسم دارد اما نقش آن در روند عفونت‌زاوی و سیر بالینی ویروس‌ها به طور

به روش اتانول استات آمونیوم رسوب کرده و در ۳۰ میکرولیتر آب مقطر حل شد.

(Methylation specific PCR) MSP

در این روش از دو گروه آغازگر (Primer) که مختص DNA های متیله و غیر متیله است، استفاده شد. آغازگرهای با استفاده از نرم افزار آتلاین Methprimer از ناحیه زنومی X ویروس هپاتیت B طراحی شد (شکل ۱). به طور خلاصه واکنش MSP در حجم نهایی ۲۵ میکرولیتر انجام گرفت. غلظت نهایی مواد برای واکنش PCR آغازگرهای مورد نظر به ترتیب زیر تعیین شد (جدول ۱).

تیمار شد. ۱۰ میکرولیتر (معادل یک میکروگرم) نمونه سرمی به ۴۰ میکرولیتر آب مقطر دیونیزه اضافه شد و ۵/۵ میکرولیتر NaOH (۲ مولار) نیز به آن افزوده شد. پس از ۱۵ دقیقه انکوبه شدن در دمای ۳۷ درجه سانتی گراد، ۳۰ میکرولیتر هیدروکینون ۱۰ میلی مولار به آن اضافه شد. پس از اضافه کردن ۵۲۰ میکرولیتر سدیم بی سولفايد ۳ مولار، به کمک روغن معدنی سطح محلول پوشانده شد و پس از بسته شدن درب میکروتیوب با نوار پارافیلم، به مدت ۱۶ ساعت در دمای ۵۰ درجه سانتی گراد انکوبه شد. مجدداً با استفاده از کیت ذکر شده از محلول استخراج شد. برای تکمیل مرحله تبدیل سیتوزین های غیر متیله به اوراسیل، ۱۵/۵ میکرولیتر از NAOH (۳ مولار) اضافه شد و ۵ دقیقه در دمای اتاق انکوبه شد. سپس در مرحله نهایی DNA



شکل ۱ تصویر برگرفته از نرم افزار Methprimer است که ناحیه انتخاب زن و آغازگرهای پیشنهاد شده در آن مشخص است.

جدول ۱ غلظت نهایی مواد واکنش PCR برای آغازگرهای متیله و غیر متیله

آب مقطر	آب مقطر	Taq پلیمراز	DNA	آغازگر	PCR بافر	MgCL ₂	dNTP	آغازگرهای متیله	آغازگرهای غیرمتیله
۱۴/۷۵	۰/۵	۰/۵	۰	۰/۵	۲/۵	۱/۲۵	۰/۵		
۱۴	۰/۵	۰/۵	۵	۱/۰	۲/۵	۱/۵	۰/۵		

استفاده شد.

برای راه اندازی MSP ابتدا شرایط یک PCR استاندارد به صورت جدول زیر پیشنهاد شد. دمای اتصال با توجه به

در واکنش متیله از آغازگرهای:

F- MHBX: TTTCGTTGTCGTTTCGATC

R- MHBX: CGTTCACGATAATTCCATACG

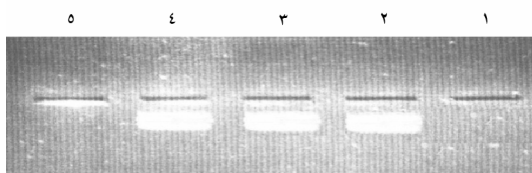
بررسی الکوی متیلاسیون ژن ^x ویروس هپاتیت B

سانانی گراید به دست آمد و دستورالعمل زیر در نظر گرفته شد (جدول ۲).

آغازگرها با طیف دمایی ۵۰-۶۰ انجام گفت. تک باند مورد نظر با اندازه ۱۳۲ جفت باز در دمای ۵۸ درجه

جدول ۲ دماهای به کار رفته در واکنش آغازگرهای متیله

	تعداد چرخه	مرحله	درجه حرارت	مدت زمان
۱ چرخه		واسرشتگی اولیه (Initial Denaturation)	۹۵	۵ دقیقه
		واسرشتگی (Denaturation)	۹۵	۳۰ ثانیه
۳۵ چرخه		اتصال (Annealing)	۵۸	۳۰ ثانیه
		بسط (Extension)	۹۵	۲۰ ثانیه
۱ چرخه		بسط نهایی (Final Extension)	۷۲	۱۰ دقیقه



شکل ۲ کیفیت DNA استخراج شده در سه نمونه بیمار؛ ستون ۱ و ۵ کنترل منفی، ستون ۲، ۳ و ۴ نمونه‌های استخراج شده DNA

کیفیت نمونه‌های الکتروفورز شده با استفاده از تعیین غلظت میزان DNA توسط دستگاه نانودرایپ (Nano Drop) تأیید شد.

به منظور بررسی متیلاسیون ژن مورد نظر برای هر دو جفت آغازگر طراحی شده (اعم از متیله و غیر متیله) یک واکنش PCR به طور جداگانه راهاندازی شد. پس از راهاندازی واکنش‌های PCR، برای هر نمونه دو بار واکنش PCR با آغازگرهای متیله و غیر متیله انجام شد و در نهایت محصولات به دست آمده از واکنش PCR روی ژل آگاراز ۲ درصد الکتروفورز شد. قطعه حاصل از آغازگرهای متیله ۱۳۲ جفت باز و غیر متیله ۱۴۳ جفت باز طول دارد. برای کنترول درستی مرحل میلاسیون، از کنترل مثبت که قطعه‌ای از DNA تیمار شده با آنزیم Sss Methylase بود برای آغازگرهای متیله استفاده شد که در این حالت آنزیم متیلاز به طور قطعی DNA مورد نظر را متیله می‌کند. با توجه به متیله بودن، این قطعه می‌تواند به عنوان کنترل منفی برای آغازگرهای غیر متیله در

آغازگرهای مورد استفاده برای واکنش غیر متیله به ترتیب زیر بود:

F- UHBX: TTTTTTGTGTTGTTGATTGA
R-UHBX: TTAATAAACATTACAATAATTCCATACA

واکنش PCR با آغازگرهای غیر متیله نیز بر اساس دستورالعمل زیر راهاندازی شد. تک باند مورد نظر با اندازه ۱۳۲ جفت باز در دمای ۵۸ به دست آمد (جدول ۳).

جدول ۳ غلظت نهایی واکنش PCR برای آغازگرهای غیر متیله

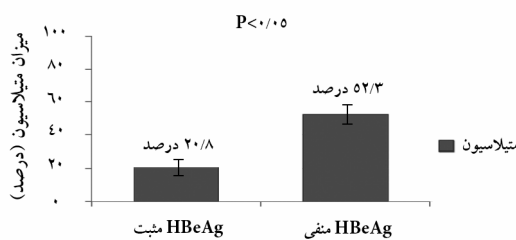
	تعداد چرخه	مرحله	درجه حرارت	مدت زمان
۱ چرخه		واسرشتگی اولیه	۹۵	۵ دقیقه
		واسرشتگی	۹۵	۳۰ ثانیه
۳۵ چرخه		اتصال	۵۸	۳۰ ثانیه
		بسط	۹۵	۲۰ ثانیه
۱ چرخه		بسط نهایی	۷۲	۱۰ دقیقه

نتایج به دست آمده با استفاده از الکتروفورز افقی روی ژل آگاراز ۲ درصد مشاهده شد.

نتایج

در این پژوهش ابتدا کیفیت DNA های تیمار شده با بی‌سولفیت سدیم با استفاده از روش اسپکتوفوتومتری و الکتروفورز تعیین شد. بدین ترتیب که ۵ میکرولیتر از DNA روی ژل ۱ درصد الکتروفورز شد (شکل ۲).

نمونه سرمی افراد مبتلا به هپاتیت B مزمن HBeAg منفی ۵۲/۳ (۱۱/۲۱) و در نمونه‌های HBeAg مثبت ۲۰/۸ (۵/۲۴) تعیین شد. به این ترتیب میزان متیلاسیون در نمونه سرمی افراد مبتلا به هپاتیت B مزمن HBeAg منفی به طور معنی‌داری بالاتر از میزان متیلاسیون DNA ویروس در افراد مبتلا HBeAg مثبت است (میزان معنی‌داری P=۰/۰۲ تعیین شد) (شکل ۴).

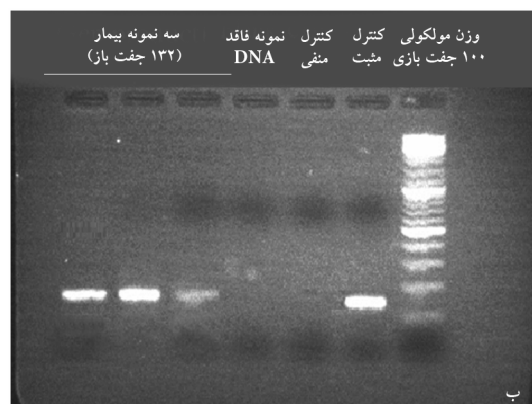
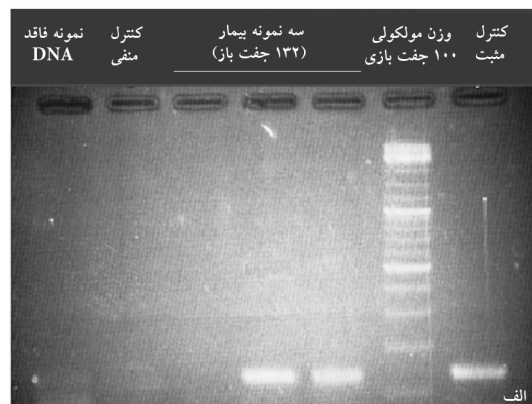


شکل ۴ میزان متیلاسیون در گروه‌های بررسی شده

بحث

نتایج تحقیق حاضر نشان داد که متیلاسیون در ژن X هپاتیت B ارتباط معنی‌داری با بیان آنتی‌ژن e در بیماران مبتلا دارد. جزیره ۲ CpG به دلیل همپوشانی با پروموتور ژن X و همچنین قرارگیری در کنار تشید کننده ۲ و پروموتور ژن Core اهمیت به‌سزایی در همانندسازی، نسخه‌برداری ژنوم و بیان آنتی‌ژن‌های ویروس دارد. با توجه به همپوشانی ژن X با پروموتور ژن Core متیلاسیون در این ژن می‌تواند موجب دور ماندن پروموتور ژن Core از دسترس عوامل نسخه‌برداری شده و بیان این ژن و ژن e را کاهش دهد؛ به همین منظور در این مطالعه این ناحیه ژنومی به عنوان ناحیه هدف انتخاب و آغازگرهای مورد نظر طراحی شد. بررسی‌های انجام گرفته در سال‌های اخیر روی این ناحیه ژنومی نشان داده است که جزیره ۲ در مقایسه با دو جزیره CpG دیگر موجود در ژنوم ویروس با وجود دارا بودن بیشترین جایگاه CpG دارای کمترین میزان متیلاسیون است [۲]. در پژوهش حاضر از ۴۵ نمونه موجود ۱۶ نمونه (۳۵/۵ درصد) در ناحیه جزیره ۲ CpG ۲ متیله و سایر نمونه‌ها غیر متیله بود. در مطالعه‌ای که یانهای (Yanghai) و

نظر گرفته شود، نمونه شاهد یک نمونه فاقد DNA است که قطعاً در الکتروفورز هیچ باندی در امتداد چاهک آن مشاهده نمی‌شود (شکل ۳).



شکل ۳ (الف) نتایج MSP برای HBX (پرای دسته متیله) در نمونه‌های سرم افراد مبتلا به هپاتیت B؛ از سمت راست: کنترل مثبت (نمونه بیمار شده با آنزیم SssI Methylase)، وزن مولکولی ۱۰۰ جفت بازی، ۳ نمونه سرم بیمار، کنترل منفی (نمونه بیمار نشده با بی‌سولفات سدیم)، نمونه فاقد DNA (شاهد)، (ب) نتایج MSP برای ژن X (دسته آغازگری غیر متیله) در نمونه‌های خون افراد مبتلا به هپاتیت B؛ از سمت راست: وزن مولکولی ۱۰۰ جفت بازی، کنترل مثبت (نمونه غیر متیله)، کنترل منفی نمونه متیله شده با آنزیم SssI Methylase، نمونه فاقد DNA (شاهد)، سه نمونه بیمار

با انجام آنالیزهای آماری (با استفاده از Student's T test) نتایج به دست آمده از این تحقیق نرخ متیلاسیون در ناحیه X ژنوم ویروس هپاتیت B در سرم افراد آلووده ۳۵/۵ درصد (۱۶/۴۵) تعیین شد که در این جمعیت میزان متیلاسیون در

بررسی الگوی متیلاسیون ژن ^x ویروس هپاتیت B

نسخه برداری و بنابراین کاهش بیان آنتی ژن ۶ در این بیماران می شود. در بررسی دیگری که درباره تأثیر متیلاسیون در کاهش بیان آنتی ژن ۶ در سال ۲۰۰۹ روی دو گروه بیماران مبتلا به متیلاسیون متفاوت در این دو گروه بیمار به دست آمد. به این ترتیب که با بررسی دو جزیره CpG ۱ و ۲ در این دو گروه بیمار مشخص شد که در بیماران مبتلا به شکل occult متیلاسیون در ناحیه جزیره ۱ اتفاق افتاده است. با به دست آوردن این نتایج این احتمال وجود دارد که متیلاسیون حاضر در جزیره ۲ CpG ۲ یکی از دلایل به وجود آمدن شکل occult بیماری از طریق سرکوب بیان ژن ۶ در این ویروس باشد [۱۲]. به نظر می رسد به دست آوردن الگوی متیلاسیون سایر جزیره های CpG ویروس در نمونه های سرمی و حتی در Peripheral DNA های استخراج شده از PBMC ها (Blood Mononucleated Cell) می تواند در کنار الگوهای به دست آمده از نمونه های بافتی در تعیین یک الگوی کلی از متیلاسیون DNA این ویروس بسیار مفید باشد؛ اما برای تأیید این مسئله تحقیقات بیشتری مورد نیاز است. به طور کلی متیلاسیون ژنوم هپاتیت B می تواند به عنوان یک مکانیسم جدید برای کنترل پیشرفت عفونت ویروسی و همچنین ایجاد مراحل بالینی مختلف در بیماران مبتلا در نظر گرفته شود. بنابراین به دست آوردن الگوهای مختلف متیلاسیون DNA ویروس در بافت های هدف ویروس از اهمیت ویژه ای برخوردار است.

تشکر و قدردانی

تحقیق حاضر بخشی از پایان نامه کارشناسی ارشد دانشجویی مصوب گروه ویروس شناسی دانشکده علوم پزشکی دانشگاه تربیت مدرس است که با حمایت مالی آن دانشگاه انجام شده است.

همکارانش روی cccDNA استخراج شده از نمونه های بافتی کبد انجام دادند از ۵۵ نمونه بافت، ۲۴ نمونه معادل ۳۴/۶ درصد در این ناحیه متیله بود [۴] که این کاهش چگالی متیلاسیون در نمونه های سرمی می تواند مرتبط با مکانیسم های مولکولی دیگر یا احتمالاً دخالت سایر تغییرات اپیژنتیکی باشد که نیاز به بررسی های بیشتری در این زمینه دارد. متیلاسیون ژن های ویروسی را نشان دار می کند که این مسئله موجب فراخوانی پروتئین های دیگر از قبیل پروتئین های Mecp1، ۲ و عاصر سرکوب کننده رونویسی و تشکیل یک کمپلکس پروتئینی ویژه روی پرموترهای ویروسی حاوی CpG متیله می شود. به این ترتیب این مناطق از دسترس عوامل رونویسی مخفی مانده و به طور همزمان عوامل سرکوب کننده رونویسی به این کمپلکس فراخوانی می شود و بنابراین ژن های متیله شده بیان نخواهد شد [۵، ۶]. چن (Chen) و همکاران در سال ۱۹۸۸ نشان دادند که Hepatocellular Carcinoma، متیلاسیون DNA های ویروسی الحاق شده در سلول های میزبان موجب عدم بیان ژن های ویروسی می شود [۹]. این نتیجه با فرضیه هایی که از پیش پیشنهاد شده بود همخوانی داشت. یک سال بعد مطالعه های DNA الحاق شده ویروس در بافت های موشی انجام شد که حاصل آن چیزی جز تأیید مطالعات قبلی نبود؛ در این مطالعه هیچ پروتئین ویروسی در بافت های موشی که DNA ویروسی در آن به صورت متیله بود بیان نشد در صورتی که درمان با داروی ۵-آزاسیتیدین (5-azacytidine) بیان پروتئین های ویروسی را مجددآ تحیریک می کرد [۱۰]. در بی آن مطالعات بیشتری روی مدل های حیوانی انجام شد که همگی نقش متیلاسیون در سرکوب بیان ژن های ویروسی را تأیید می کرد. در سال ۲۰۰۹ نیز این موضوع در بافت های کبدی انسانی که در معرض ویروس هپاتیت B قرار گرفت، مشاهده شد؛ در این پژوهش ویکاناندان (Vivekanandan) به این نتیجه رسید که متیلاسیون حتی با چگالی پایین موجب سرکوب بیان ژن های ویروسی می شود [۱۱]. با تعیین الگوی متیلاسیون DNA سرمی ویروس مشاهده شد که متیلاسیون DNA سرمی ویروس موجب کاهش

منابع

- [1] Pan CQ, Zhang JX. Natural History and Clinical Consequences of Hepatitis B Virus Infection. *Int J Med Sci* 2005; 2(1): 36-40.
- [2] Kaur P, Paliwal A, Durantel D, Hainaut P, Scoazec JY, Zoulim F, Chemin I, Herceg Z. DNA methylation of hepatitis B virus (HBV) genome associated with the development of hepatocellular carcinoma and occult HBV infection. *J Infect Dis* 2010; 202(5): 700-4.
- [3] Vivekanandan P, Thomas D, Torbenson M. Hepatitis B viral DNA is methylated in liver tissues. *J Viral Hepat* 2008; 15(2): 103-7.
- [4] Guo Y, Li Y, Mu S, Zhang J, Yan Z. Evidence that methylation of hepatitis B virus covalently closed circular DNA in liver tissues of patients with chronic hepatitis B modulates HBV replication. *J Med Virol* 2009; 81(7): 1177-83.
- [5] Hoelzer K, Shackelton LA, Parrish CR. Presence and role of cytosine methylation in DNA viruses of animals. *Nucleic Acids Res* 2008; 36(9): 2825-37.
- [6] Li HP, Leu YW, Chang YS. Epigenetic changes in virus-associated human cancers. *Cell Res* 2005; 15(4): 262-71.
- [7] Sutter D, Doerfler W. Methylation of integrated adenovirus type 12 DNA sequences in transformed cells is inversely correlated with viral gene expression. *Proc Natl Acad Sci U S A* 1980; 77(1): 253-6.
- [8] Fernandez AF, Rosales C, Lopez-Nieva P, Graña O, Ballestar E, Ropero S, Espada J, Melo SA, Lujambio A, Fraga MF, Pino I, Javierre B, Carmona FJ, Acquadro F, Steenbergen RD, Snijders PJ, Meijer CJ, Pineau P, Dejean A, Lloveras B, Capella G, Quer J, Buti M, Esteban JI, Allende H, Rodriguez-Frias F, Castellsague X, Minarovits J, Ponce J, Capello D, Gaidano G, Cigudosa JC, Gomez-Lopez G, Pisano DG, Valencia A, Piris MA, Bosch FX, Cahir-McFarland E, Kieff E, Esteller M. The dynamic DNA methylomes of double-stranded DNA viruses associated with human cancer. *Genome Res* 2009; 19(3): 438-51.
- [9] Chen JY, Hsu HC, Lee CS, Chen DS, Zuckerman AJ, Harrison TJ. Detection of hepatitis B virus DNA in hepatocellular carcinoma: methylation of integrated viral DNA. *J Virol Methods* 1988; 19(3-4): 257-63.
- [10] Araki K, Miyazaki J, Tsurimoto T, Inomoto T, Iwanaga T, Matsubara K, Yamamura K. Demethylation by 5-azacytidine results in the expression of hepatitis B virus surface antigen in transgenic mice. *Jpn J Cancer Res* 1989; 80(4): 295-8.
- [11] Vivekanandan P, Thomas D, Torbenson M. Methylation regulates hepatitis B viral protein expression. *J Infect Dis* 2009; 199(9): 1286-91.
- [12] Vivekanandan P, Kannangai R, Ray SC, Thomas DL, Torbenson M. Comprehensive genetic and epigenetic analysis of occult hepatitis B from liver tissue samples. *Clin Infect Dis* 2008; 46(8): 1227-36.